

韓國잔디(*Zoysia japonica* Steud.)의 刈草後 再生過程에 따른 異化的·同化的 生化學變化에 관한 研究

張楠基·金炯基*·劉俊姬·金龍鎮·林采成

서울大學校 師範大學

Biochemical Changes of Dissimilation and Assimitation in *Zoysia japonica* Steud during the Regrowth Process after mowing

N.K.Chang, H.K.Kim*, J.H.Yoo, Y.J.Kim and C.S.Lim

College of Education, Seoul National University.

Summary

During the regrowth the process after mowing, NRA in the leaf was the highest activity from the 5th day to the 7th day. Before mowing, the NRA in the root was not almost detected. But, the NRA in root appeared a rapid increasing activity from the 3rd day to the 4th day after mowing(Figs.27~32). During the regrowth process after mowing, a general tendency of AA in the aboveground parts appeared an increasing tendency from the 1st day to the 4th day, a rapid increasing tendency from the 7th day to the 8th day reaching its peak, and a decreasing rate on the 8th and 9th day reaching its peak, and a decreasing rate on the 8th and 9th day. But the AA in the root appeared rapid increasing rate from the 2nd day to the 7th day, the beginning of reagrowth, this tendency showed a similar figure in the case of Total Soluble Carbohydrate(TSC) in the internode. Both AA and NRA were appeared recovery stage from the 8th day after mowing(Figs.15~20). During the regrowth process after mowing, changes of the maximum plant lengths were 18.27cm in the 0cm mowing plot on the 24th day after mowing, 18.83cm in the 3cm mowing plot on the 18th day after mowing, and 18.16cm in the 6cm mowing plot on the 14th day after mowing(Fig.2).

During the regrowth process after mowing, changes in Dry Matter(DM) contents in leaf and stem were a slow decreasing tendency from the 1st day to the 4th day. From the 5th day to the 8th day it appeared a rapid increasing tendency. And afterward until the 15th day. All treatments were reached at a steady state(Figs.3~8). During the regrowth process after mowing, changes in the TSC contents of stem and crown were a slow decreasing tendency from the 1st day to the 5~6th day. From the 7th to the 8th day there was a rapid increasing tendency. And afterward until the 15th day there was a decreasing rate at a steady state. In root there was a similar tendency to that of leaf and stem organs. A general tendency in internode, the TSC content appeared a similar figure to increment of AA (Figs.9~14). During the regrowth process after mowing, changes in te Crude Proein (CP) content of aboveground parts appeared a slow increasing tendency from the 1st day to the 5~6th day, where it is peak. And afterward to the 15th day there was a decreasing rate at a steady state. But, in root there were a contrary tendency to that of aboveground

I. 緒論

*Zoysia japonica*는 우리나라의 海岸, 原野, 山野地등에 廣範圍하게 分布하여 自生하고, 禾本科에 屬하며, 暖地型인 C₄植物로서 地下莖을 가지고 繁殖하고 地域에 따라 形態的 變異를 나타낸다(柳廉, 1969). 特히 이 잔디의匍匐莖은一般的으로 옆으로 길게 뻗고匍匐莖의 마디에서 뿌리가 나며, 잎은 길이 5~10cm, 나비 2~5mm로서 평평하거나 안으로 말리며 葉鞘 가장자리에 털이 있고 꽃은 5~6月頃에 피며 花莖은 높이 15~20cm로서 尖端에서 3~5cm部位에 花穗가 달린다(朴, 1949).

i) *Zoysia japonica*는 옛부터 景觀의美化나 墓域의 被覆에 利用되어 왔지만 뗏장 形成의 缺損으로 인한 被覆密度가 낮아지기 때문에 裸地가 發生할 뿐만 아니라, 外國種 잔디에 비해 綠色을 유지하는期間이 짧아 屋外活動이 活潑한 10月에 잔디가 푸르지 않기 때문에 잔디草地의 利用과 잔디로 被覆된 庭園, 公園, 競技場 등의 活用에 약점이 되고 있다.

本研究에서는 生長이 活潑한 時期에一定한 草高로刈取하였을 때 잔디의 生長樣相과 再生過程中 잎, 줄기, 冠部, 節間 및 뿌리의 乾物量, 總可溶性炭水化物, 澱粉分解酸素인 Amylase活性, 粗蛋白質, 塞素代謝에 重要的酶素인 Nitrate reductase의活性 등 植物體內에서 일어나는 異化的 同化的 生化學變化現象을 규명하기 위해 遂行되었다.

II. 材料 및 方法

1. 供試材料

供試된 材料는 서울特別市 冠岳區 冠岳山의 西北斜面 북위 37°27', 동경 126°50'에 位置한 서울大學校 構內의 *Zoysia japonica* Steud 草地中 純群落地를 選定하여 1986年 7月 31日에 0.3, 6cm의 刈取高別로 벤後再生이 停止될 때까지 各器官別로 나누어 調査하였다. 試驗區는 各區當 1.5 × 3m面積을 取하여 各各 3反復分割配置法에 依해 設置하였으며 試驗區間의 距離는 60cm 間隔으로 維持하였다.

2. 實驗地의概況과 土壤의化學特性

本實驗이 遂行된 場所의 土壤의 化學的 特性에 대한 概況을 調査한 結果는 Table 1과 같다.

서울大學校 構內 잔디群落의 土壤은 粘質壤土와 粘質砂土로 酸性이 강한 편이었고 有効磷酸量은 우리나라 耕地의 平均值 110ppm과 비슷한 水準을 나타내었다. 陽ion置換容量은一般的으로 肥沃하고 生產性이 높은 土壤일수록 높은 傾向이 있는데 耕地의 平均值 9.6me/mg 보다 낮은 水準임을 알 수 있었다.

3. 實驗地域의氣象概況

本實驗이 遂行되어진 地域의 5月初부터 9月末까지의 平均氣溫은 17.9~24.5°C이고 降水量도 100mm 이상의 水準을 보여 夏型生長型인 *Z. japonica*의 生長에 最適임을 알 수 있다(Fig. 1).

4. 供試料에對한 生化學的 分析

(1) 草長과 乾物量 調査

本調査는 *Z. japonica* 純群落地를 이루고 있는既成草地를 選定하여 0.3, 6cm의 刈取高別로 벤후 一定時間 간격으로 根系까지 採取하고 各器官別로 區分하여 各試料를 90°C 乾燥器에서 恒量

Table 1. Chemical properties of soil of *Zoysia japonica* Steud grassland in Seoul National University.

Sampling depth	pH (H ₂ O 1 : 2.5)	Organic Matter	Total Nitrogen	Available P ₂ O ₅	Exchangeable (me/100g)			C. E. C* (me/100g)
					K	Ca	Mg	
0~10cm	5.6	1.81	0.16	107.38	0.35	3.51	0.68	7.48
10~20cm	5.3	1.68	0.09	86.36	0.27	3.25	0.63	6.6

* C. E. C; Cation Exchangeable Capacity

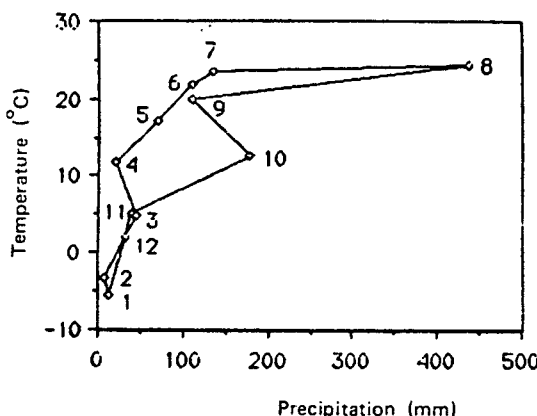


Fig.1. Temperature-precipitation hydroclimograph for Seoul in 1986.

이 될 때까지 乾燥시킨 후 秤量하였다.

根系는 根圈土壤까지 깊이 20cm範圍까지 채취하여 철망체에 넣은 다음 流水로 훑을 除去하면서 細根까지 수집하여 調査하였다.

(2) 總 可溶性炭水化物

i) 당 추출의 과정

粉碎한 乾燥試料를 약 500mg 取하여 0.7N HCl (10ml)로 2.5時間 동안 중탕하여 加水分解시킨 後 250ml volumetric flask에서 澤過한다. 여기에 6.5ml의 4% NaOH를 加하여 中和시킨 後 5% ZnSO₄를 2ml 넣고 15分間 靜置한 後 다시 0.3N Ba(OH)₂를 3ml 넣고 250ml volumetric flask로 定容한다.

處理한 試料中 2ml를 取하여 蒸溜水로 총량 5ml로 맞춘 後 glucose 定量을 하였다.

ii) 환원당 적정 (Shaeffer-Somogyi Coper-iodometric 方法)

① 上記 試料와 sugar standard (3ml 蒸溜水 + 2ml sugar standard)와 5ml 蒸溜水 (Blank)를 50ml Test tube에 넣고 여기에 5ml reagent 50을 加한 後 완전히 섞고 marble을 test tube에 올려 놓는다.

② 100°C water bath에서 15分間 煮인 後 곧 30°C 이하로 冷却시킨다.

③ 2ml potassium iodide + potassium oxalate (50:50) 溶液을 加한 後 다시 5ml의 1N H₂SO₄을 加한다.

④ Starch indicator를 2 방울(약 0.25ml)을 넣고 흔든 後 0.02N Sodium Thiosulfate로 摘定한다.

⑤ Test tube을 흔들어 Cuprous-Oxide가 溶解되도록 한다.

⑥ 同一한 方法으로 Blank 및 Sugar standard를 摘定한다.

[계 산]

$$\text{Glucose (mg/5ml)} = (\text{Blank} - \text{Sample}) / (\text{Blank} - \text{Standard}) * \text{Standard (mg)}$$

(3) Amylase activity assay

i) 材料採取

Sample을 直徑 8cm의 철원통으로採取하여 잎, 줄기, 冠部, 節間, 根으로 나눈 後 이를 蒸溜水로 씻어 면도날로 잘게 細切하여 使用하였다.

ii) Amylase assay

① 깨끗한 試驗管에 완충 澱粉溶液 (Buffered starch solution) 1.0ml와 各部位에서抽出한 酶素溶液 150 μl을 넣고 잘 섞는다 (Control에는 酶素溶液을 넣지 않는다).

② 30°C에서 30分間 澱粉加水分解가 일어나도록攪拌機에서 흔들어 준다.

③ Acidified iodine reagent 1.0ml와 蒸溜水 5ml를 各試驗管에 添加한 後 잘 섞는다.

④ 610nm에서 吸光度를 測定한다.

⑤ Enzyme activity는 Unit/hr/mg Protein로 나타낸다 (1 Unit는 흡광도 0.1差異로 定한다).

(4) 粗蛋白質의 定量

粗蛋白質含量의 分析은 A.O.A.C (1980) 方法에 依하여 測定하였다.

(5) Nitrate reductase activity assay

上記한 Amylase의 材料採取方法에 準하였으며, 器官別로採取하여 막자사발에 넣고粉碎하고 各器官別의 組織 50cm²당 冷却된 0.025M Tris-HCl buffer (pH 7.5) 10ml을 넣고 잘 균질화한 後 0~4°C에서 20,000g에서 30分間遠心分離시켜 上騰液을 酶素分析에 直接 使用하였다.

酶素分析은 Sanderson과 Cocking (1964)에 의한 方法에 따라 行하였으며, 反應混合物은 (0.1M Phosphate buffer; (pH 7.5) 0.5ml, 10μM KN₃, 10μM NADH₂)와 酶素抽出液 0.1ml을 混

合한後蒸溜水를添加하여最終부피가 1ml가 되게하였다. 이反應混合物은 28°C에서 30分間培養한後 1N HCl 속에 1% (W/V) sulphanilamide 1ml을添加하여反應을中止시킨 다음 0.01% (W/V) N-(1-naphthyl) ethylenediamine dihydrochloride 1ml을 넣었다. 그後形成된 azo 염색은 30分後安定된색깔로變한다. 이때形成된沈澱物은遠心分離에依해서제거하고 Unicam SP 500 spectrophotometer을 가지고 540nm에溶液의 Optical density을測定하였다.

III. 結果 및 考察

(1) 剪取高에 따른草長의推移

*Z. japonica*의 0.3 및 6cm의剪取高에 따라再生되는草長의生長型을 보기 위하여 잔디生長이 끝난時期를擇하여剪取(86年7月31日)하여再生過程에 따른生産의推移를調査한結果는 다음과 같다(Fig. 2).

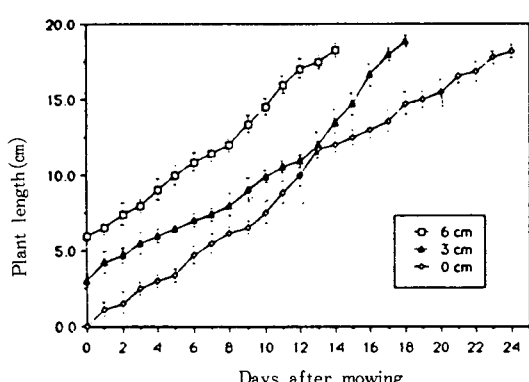


Fig.2. The changes of plant length during the regrowth of *Z. japonica*.

0cm剪取區는再生初期 5日間은 매우低調한生長이 나타났으며, 그 이후 13日頃까지 다소빠른生長을 보였다. 그 이후부터는 서서히生長되는樣相을 나타내고 23日頃에비로소生長이停止되어 18.27cm로一定한水準을 보였으며, 3cm處理區에서는再生初期에는 다른區보다빠른生長率을보인후 다소늦은生長이 나타나다가再次漸進的으로增加되어 18日頃에 18.83cm로一

定한水準에到達하였으며, 6cm處理區에 있어서는再生初期에 3cm處理區보다늦은生長率을보였으나 8日째부터急增傾向이 나타나 14日頃에 18.16cm로完全한再生이 이루어지는 Sigmoid curve를 나타내었다.

Sullivan and Sprague 등(1949)의報告에서 perennial ryegrass의 경우高温期間中牧草의良好한再生을위해서는 9cm의높은刈取高가바람직하다고指摘한바 있는데, 本實驗結果 *Z. japonica*에서도 6cm刈取高가再生에는 가장適合한것으로생각된다.

James(1982)의報告에서골프場이나各種運動競技場의잔디類는높은刈取高가주로要望되기때문에低刈에잘견디는特性을갖고있는 *Z. japonica*가美國의골프장에서green, fairway 및tee地域에서많이利用되는優秀한잔디로認定받고있다고하였으며, Madison(1962)은 *Z. japonica*適正刈取高는 1.3~2.5cm정도라고指適한바있다.

(2) 剪取高에 따른器官別乾物量의變化

*Z. japonica*의剪取高別일, 줄기, 冠部, 節間,地上部 및 뿌리의再生過程에 따른乾物量의變化樣相을보면 Figs. 3~8과같다.

乾物生產의樣相을보면剪取直後부터 3~4日頃까지는 0, 3 및 6cm處理區모두地上部의各器官과地下部인뿌리에서도減少되는傾向을보였다. 이는剪取로인한光合成部位의대부분이喪失되었기때문에이器官의再生을위한細胞增殖에많은에너지가消耗된것으로思料된다.

江原등(1964)은orchardgrass와italian ryegrass의再生에미치는貯藏養分量 및溫度의影響에관한研究에서줄기와뿌리의貯藏養分은呼吸에依한消耗와再生의基質提供等으로減少現象을보였으나同化器官의形成에따라地上部에서다시줄기와뿌리로再貯藏의基質이보내어져漸進的으로重量이回復되어간다고하였다.

이結果는本研究結果와4日부터8~9日頃까지는急速한增加趨勢를보였고그이후부터再生이完了될때까지는거의安定된狀態로物質生產을維持하는것으로나타났다. 이現象은一旦再生에必要한光合成이活潑히 이루어진후正

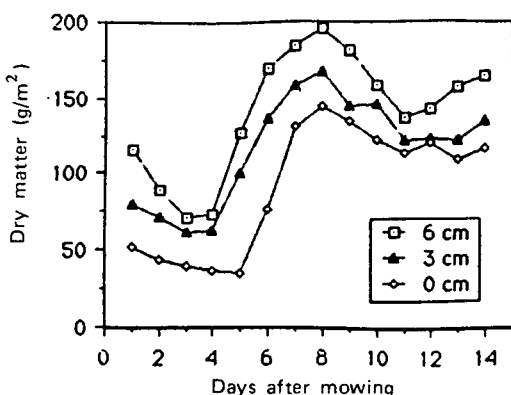


Fig.3. The changes of dry matter yield of the leaf during regrowth of *Z. japonica*.

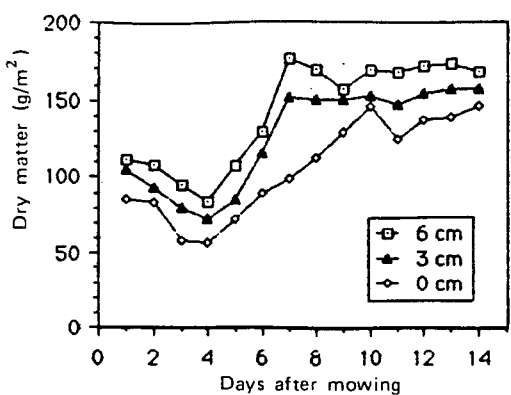


Fig.4. The changes of dry matter yield of the leaf during regrowth of *Z. japonica*.

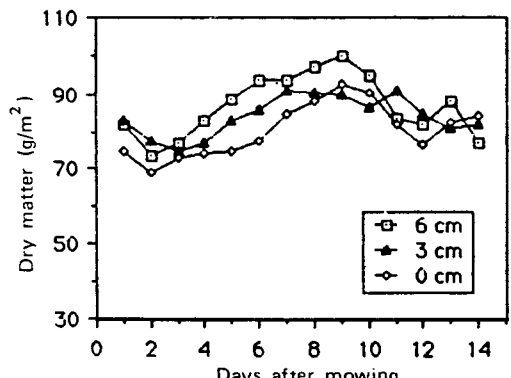


Fig.5. The changes of dry matter yield of the crown during regrowth of *Z. japonica*.

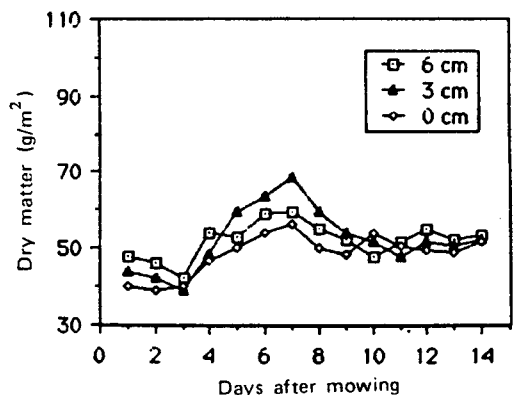


Fig.6. The changes of dry matter yield of the internode during regrowth of *Z. japonica*.

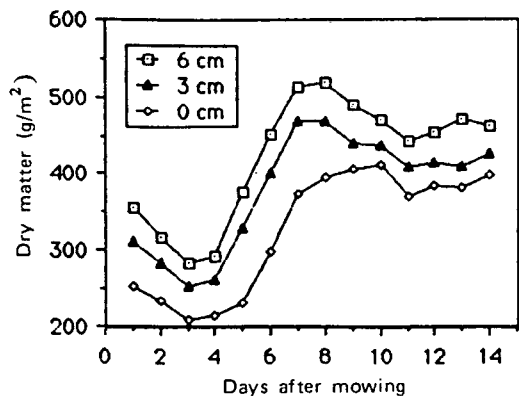


Fig.7. The changes of dry matter yield of the aboveground parts during regrowth of *Z. japonica*.

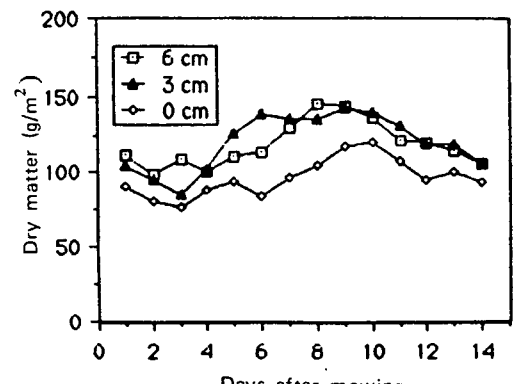


Fig.8. The changes of dry matter yield of the root during regrowth of *Z. japonica*.

常狀態로 回復되었음을 意味한다.

前田(1964)는 Italian ryegrass에서 剪取後의 뿌리·줄기의 乾物量은 剪取後 10日頃까지는 減少하였고 그 이후再次增加한다고 指摘하였으며, 또한 10日이전을 再生葉의 依存生長期라고 하였고 10日 이후를 獨立再生期라고 報告하였다. 江原等(1965, 1966)도 牧草의 再生에 관한 研究報告에서 牧草剪取後 줄기·뿌리等에 蓄積되어 있는 貯藏物量을 利用한 新葉의 形成이 나타나고 있는期間이 剪取後의 約 1週間이라고 指摘하였다. 이研究結果들은 本 實驗의 結果와 類似한 傾向을

나타내는 것으로 推定된다.

(3) 再生過程中의 總 可溶性炭水化物 變化

*Z. japonica*의 剪取高에 따른 잎, 줄기, 관부, 절간, 地下部 및 뿌리의 再生過程中 Total Soluble Carbohydrate(TSC) 含量의 變化樣相을 보면 Figs. 9~14와 같다.

*Z. japonica*의 再生中의 TSC含量變化를 보면 잎의 경우 剪取初期에 다소 增加되다가 5~6日頃에는 急減하였으나, 그 이후 急增하여 7~8日頃에는 20.5~24.8% 水準으로 最高值를 보였다. 그 후에는 再次漸進的으로 減少하는 傾向이 나타났다.

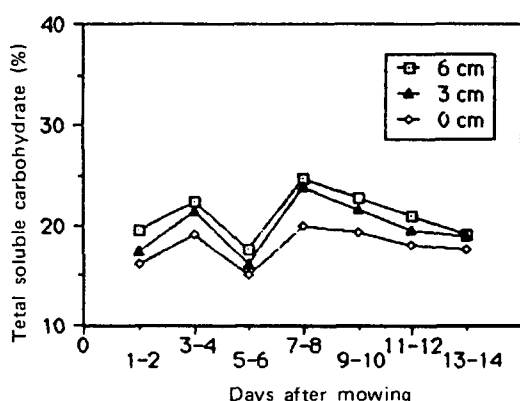


Fig. 9. The changes of total soluble carbohydrate of the leaf during regrowth of *Z. japonica*.

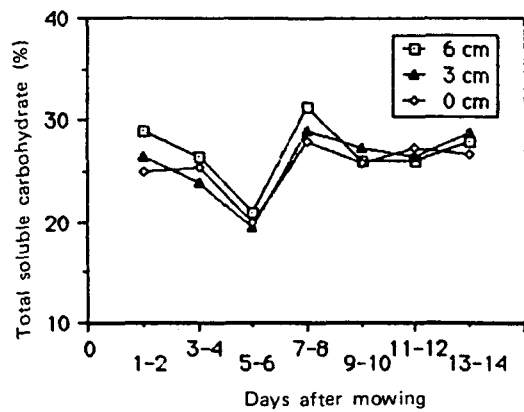


Fig. 10. The changes of total soluble carbohydrate of the stem during regrowth of *Z. japonica*.

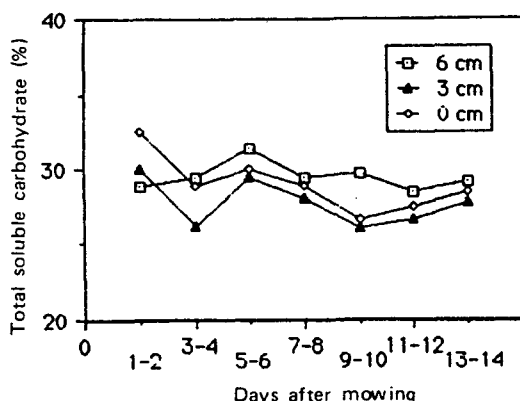


Fig. 11. The changes of total soluble carbohydrate of the crown during regrowth of *Z. japonica*.

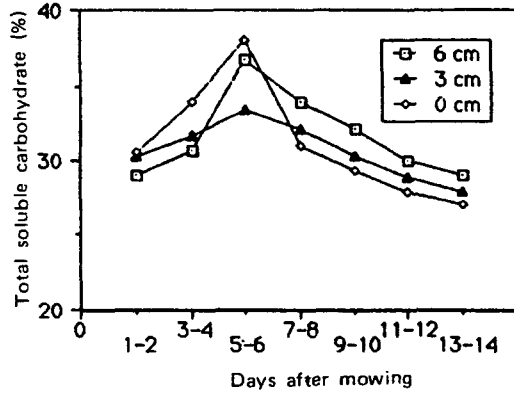


Fig. 12. The changes of total soluble carbohydrate of the internode during regrowth of *Z. japonica*.

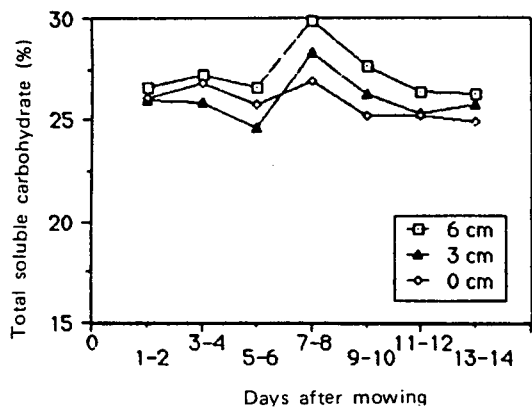


Fig.13. The changes of total soluble carbohydrate of the aboveground parts during regrowth of *Z. japonica*.

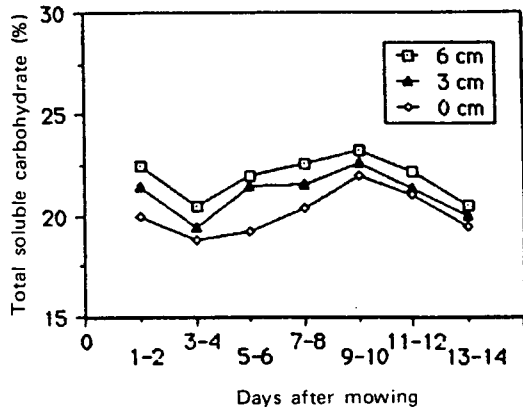


Fig.14. The changes of total soluble carbohydrate of the root during regrowth of *Z. japonica*.

다(Fig. 9).

줄기의 경우는刈取初期부터 5~6日頃까지 下落傾向을 보인 後, 7~8日頃에 急增하여 28.0~31.3% 水準으로 最高值로 나타났으며 그 후에는 減少되면서 一定한 傾向을 보였다. (Fig. 10).

冠部의 경우는 刈取直後에 一般的으로 다소 높은 水準을 보였으나 그 후 3~4日頃까지는 減少倾向이 나타났다. 그 후 5~6日頃까지는 急增하여 29.4~31.3%로 最高值를 보였다. 그 이후부터는 減少되면서 減少되는 傾向이 나타났다(Fig. 11).

節間의 경우는 刈取直後부터 5~6日頃까지 急增하여 32.8~36.7%의 水準인 最高值를 보였고, 그 후에는 減少되면서 減少되는 傾向이 나타났다 (Fig. 12).

뿌리의 경우는 刈取直後부터 3~4日頃까지는 減少되는 傾向이 나타났으나, 그 후부터는 9~10日頃까지 서서히 增加되는 傾向을 보인 後 再次 減少되는 趨勢가 나타났다(Fig. 13).

本 實驗結果에서 나타난 一般的의 傾向을 보면 잎, 줄기, 관부에서는 다소 TSC含量變化에서 差異는 있지만 거의 類似한 傾向을 보이고 있으나, 節間에서만이 이와 反對되는 趨勢를 보여주고 있음을 알 수 있다.

星野와 大泉(1968)은 大部分의 貯藏炭水化物이 減少되는 時期가 刈取後 再生初期이며 再生

速度와 貯藏物質相互間에는 깊은 關係를 맺고 있을 뿐만 아니라 貯藏物質이 新葉素材 및 에너지源으로 利用된다고 報告한 바 있는데 이는 本 實驗에서의 地上部에서 나타난 變化樣相과 거의一致되는 것이다.

Weinmann(1961)의 報告에서 보면 一部의 炭水化物이 貯藏物質로서 作用한다는 것으로서 結論짓고 이 貯藏物質은 植物에 依해 合成된 有機物質이며 어떤 時期에 植物體内에 貯藏되어 있다가 에너지源 또는 植物體構成을 위해 必要한 時期에 利用하는 것이라고 推論한 바 있는데, 本 實驗에서도 이와같은 점이 보여지고 있다고 생각된다.

특히 蔊類에서 刈取回收가 增加됨에 따라 一般的으로 直立莖이 急增하고, 貯藏炭水化物이 減少하며, 뿌리의 發生量이 減少되고(Madison, 1962), 飼匐莖의 發達이 지연되며 直立莖의 生長은 抑制된다(Prine and Burton, 1956)는 보고가 있다.

Joo(1983)의 報告에 依하면, *Z. japonica*의 貯藏炭水化物含量變化는 地上部의 生育이 純化된 10月 中旬頃인 休眠值前이 가장 높았다고 指摘하였다. TSC含量은 地上部의 경우 刈取直後부터 5~6日頃까지 減少되었다가 그 이후 7, 8日頃은 急增倾向을 보였다. 그 以後부터 15日頃까지는 거의 모든 器官에서 共히 安定된 趨勢를 維持하는 것으로 나타났다. 特히 地下部는 地上部의 器官만큼 큰 變化는 없으나 거의 類似한 傾向을 보였다.

日高(1973)는 Bitter dock (*Rumex obtusifolius* L.)의刈取後에再生過程을 pot試驗에 依해서追跡한結果에서 地上部의再生長이 旺盛한 刈取後 1~2週 사이에 地上部와 地下部 모두 TSC 含有率이 顯著히 減少하였지만 3週째에는 刈取前을 上迴하는 回復을 보였고 그以後는 漸進的으로增加하였다고 報告한 바 있다. 本實驗結果 日高(1973)의 報告와 거의 類似한 傾向으로 地上部의 旺盛한 再生을 위해 地下部의 養營分이 轉流하는 依存再生期와 그以後 再生葉에 依해 同化產物이 再蓄積되는 獨立再生期로 變化되고 있는 것을 잘 보여주고 있다.

(4) Amylase活性度變化

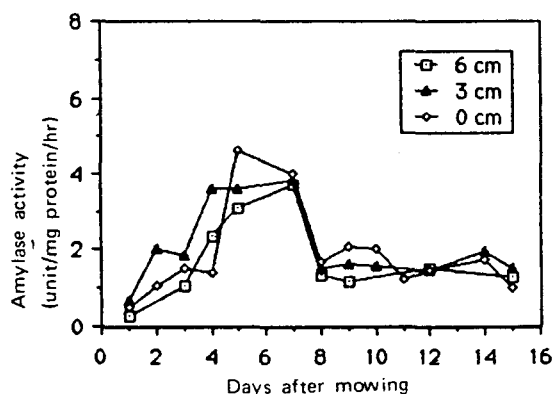


Fig.15. The changes of amylase activity of the stem during regrowth of *Z. japonica*.

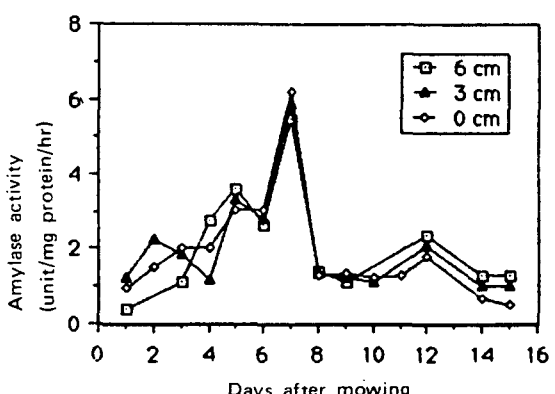


Fig.17. The changes of amylase activity of the crown during regrowth of *Z. japonica*.

*Z. japonica*의 刈取高에 따른 莖, 节, 節間, 地上部 및 뿌리의 再生過程中 Amylase活性度의 變化樣相은 Figs. 15~20과 같다.

一般的으로 濃粉分解酵素인 Amylase活性化的 變化되는 傾向을 보면 各 刈取區 모두 地上部位인 莖, 节, 節間等은 刈取直後부터 4日頃까지는 漸進的 增加傾向을 보였으며 刈取 7~8日間에서는 가장 높은 活性을 보였다. 刈取 8~9日頃에는 急激히 減少하는 現象이 나타났고 그 이후 刈取 15日 째까지는 낮고 거의 安定된 活性度를 보였으나, 뿌리의 경우는 再生初·中期에 急增하는 傾向을 나타냈다. 이와같은 現象은 刈取에 따른 物理的 損傷을 回復하기 위해 많은 營養物

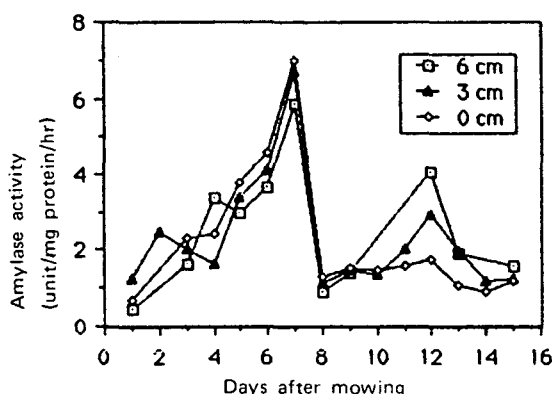


Fig.16. The changes of amylase activity of the stem during regrowth of *Z. japonica*.

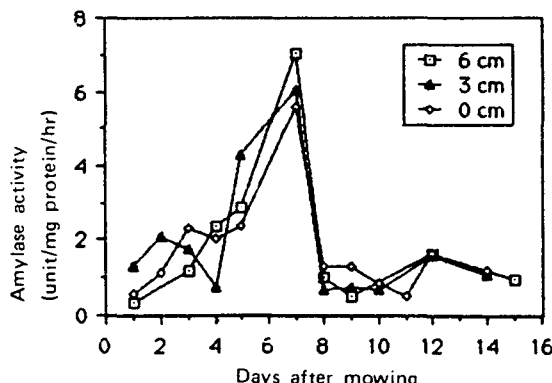


Fig.18. The changes of amylase activity of the internode during regrowth of *Z. japonica*.

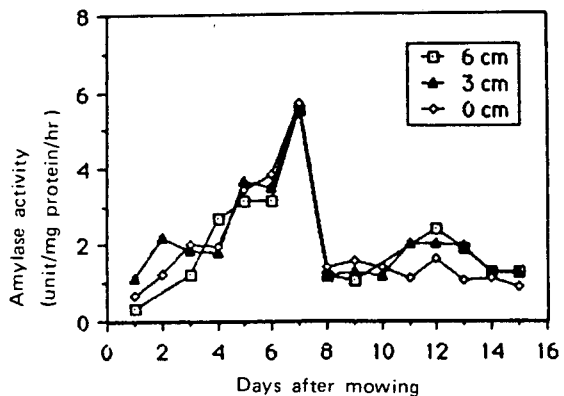


Fig.19. The changes of amylase activity of the aboveground parts during regrowth of *Z. japonica*.

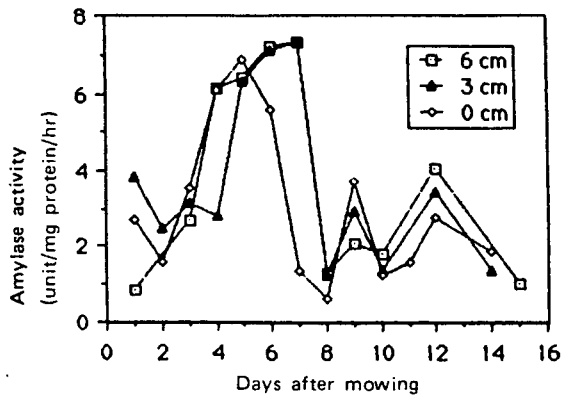


Fig.20. The changes of amylase activity of the root during regrowth of *Z. japonica*.

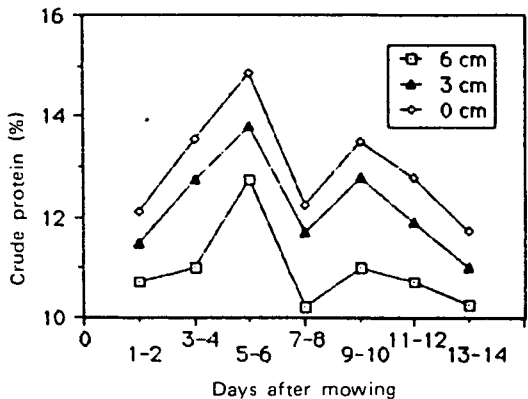


Fig.21. The changes of crude Protein of the leaf during regrowth of *Z. japonica*.

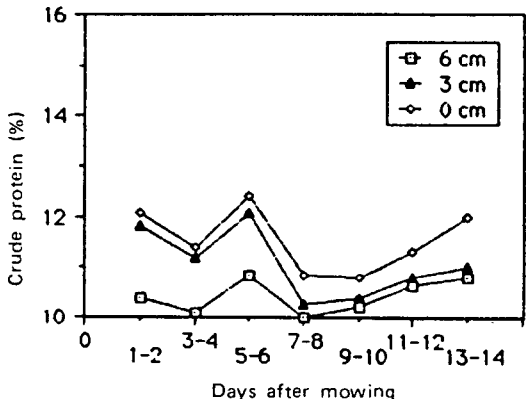


Fig.22. The changes of crude protein of the stem during regrowth of *Z. japonica*.

質을 뿌리로부터 吸收하기 위한 에너지供給의 일환으로 Amylase活性度가 높아진 것이라고 생각된다. 특히 注目해야 할 現象은 Fig. 12에서 보는 바와같이 TSC는 節間의 경우 5~6日에서 最高水準을 나타내었다. 이 結果는 Amylase活性과 같은 傾向으로 贯藏澱粉의 利用과 밀접한 관계가 있음을 示唆해주고 있는 것으로 생각된다.

(5) 粗蛋白質의 變化

*Z. japonica*의 剪取高에 따른 茎, 줄기, 冠部, 節間, 地上部 및 뿌리의 再生過程中 粗蛋白質의 含量變化는 Figs. 21~26과 같다.

本 實驗結果에 의한 再生過程中의 粗蛋白質含量變化를 보면, 0, 3 및 6cm處理區 모두 剪取直

後부터 5~6日頃까지 뿌리를 제외한 地上部인 茎, 줄기, 冠部, 節間의 器官에서 減進的으로 增加趨勢를 보였다. 이는 剪取로 인하여 잔디의 體細胞가 增殖하기 위해 必要한 蛋白質을 合成해야 하기 때문에 思料된다. 그 후 2日間(剪取 7~8日頃)은 減少傾向을 나타내었으며, 剪取 9日째부터는 줄기를 除外하고는 모두 조금씩 低下되는 趨勢를 보였다. 그렇지만 뿌리에서는 地上部位와는 正反對의 傾向을 나타내었다. 이는 剪取直後부터 3~4日頃까지는 뿌리에서 吸收된 無機窒素가 植物體의 利用部位인 地上部位로 移動되기 때문에 減進的으로 減少傾向을 보였다고 말할 수 있다. 그 이후 5~6日頃부터 9~10日頃까지는 다시 正常的

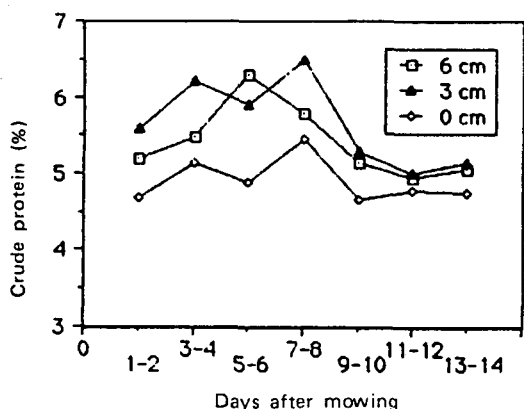


Fig.23. The changes of crude protein of the crown during regrowth of *Z. japonica*.

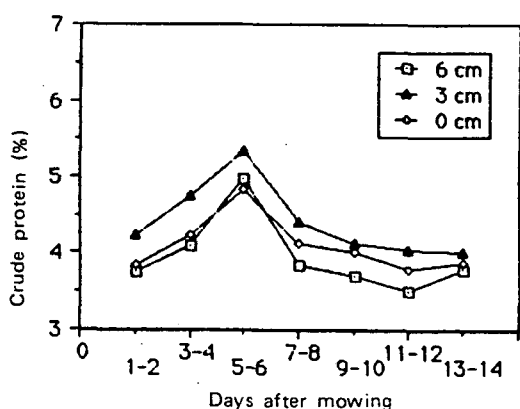


Fig.24. The changes of crude protein of the internode during regrowth of *Z. japonica*.

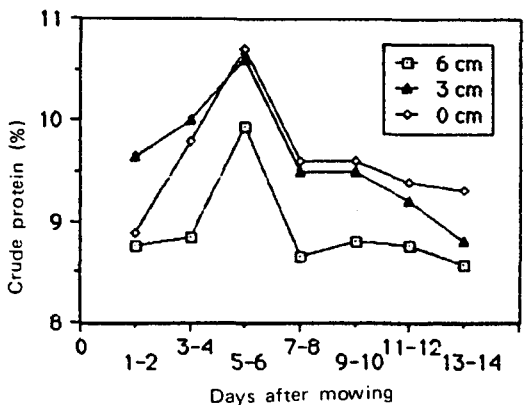


Fig.25. The changes of crude protein of the aboveground parts during regrowth of *Z. japonica*.

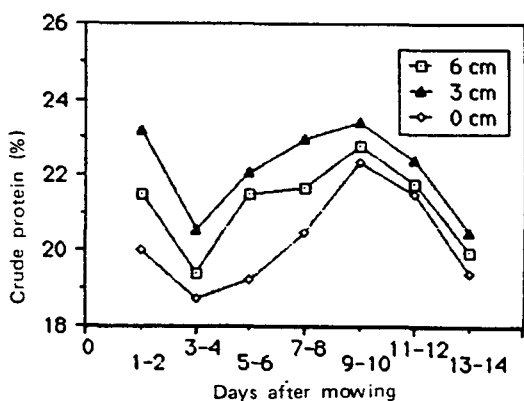


Fig.26. The changes of crude protein of the root during regrowth of *Z. japonica*.

으로 회복되고 있음을 알 수 있다.

(6) Nitrate reductase 活性度 變化

*Z. japonica*의刈取高에 따른 잎, 줄기, 冠部, 節間, 地上部 및 뿌리의再生過程中 Nitrate reductase activity (NRA)의變化樣相은 Figs. 27~32에서 보는 바와 같다.

刈取高에 따른 잎의 NRA를 보면, 3cm와 6cm處理區는 비슷한 樣相을 보였으나, 0cm處理區의 경우는刈取된 후 4日째 急激히增加하여 다른 두處理區에 비해 높은 NRA를 7日까지 나타내다가, 다시 急減하여 모든處理區에서 거의活性度가 떨어지는 것으로 나타났다(Fig. 27).

줄기의 경우는 대체로 3cm處理區 모두 비슷한倾向을 보였으며, 그 중 0cm, 3cm, 6cm順으로活性度의 差異가 나는 것으로 나타났다. 특히 5日째는各處理區 모두 가장 높은活性度를 나타내었다(Fig. 28).

冠部의 경우도各處理區, 共히 2日째 제일 높은活性度를 보였으며, 3日부터는 비슷한 狀態로 낮게 나타났다(Fig. 29).

節間의 NRA는刈取된後 1日째 3cm와 6cm處理區는 가장 높은活性度를 보인 후 時間이 經過함에 따라 減少하는 趨勢로 나타났으나, 0cm處理區는 1日째는 거의活性度의變化가 나타나지 않

다가 3日째에 最高의 活性度를 나타낸 후 계속 減少하는 傾向을 나타내었다(Fig. 30).

뿌리의 NRA는 各 處理區에서 거의 비슷하며 3日째는 最高의 活性度를 보인 후 7日째까지 서서히 減少하였다(Fig. 32).

NRA에 대한 이상의 結果를 綜合해보면 *Z. japonica*는 잎에서 NRA가 가장 높고, 뿌리에서는 거의 存在하지 않는 것으로 나타났다. 特히 新生葉이 老化한 잎보다 NRA가 높은 것을 알 수 있었다(Table 11). 이 結果에 의하면 剪取高에 따른 NRA에서 0cm處理區인 경우 1日째는 잎의 NRA는 거의 무시할 정도였으나 新生葉이 나오는 5日

째의 NRA는 다른 두 處理區보다도 높아진다는 事實을 알 수 있다(Fig. 27).

뿌리의 경우 剪取前에는 NRA가 거의 0에 가까운데도 불구하고 剪取된 후 急激히 增加하는 것은 剪取傷害에 따른 物理的 損失을 回復시키기 위해 보다 많은 窒素化合物를 形成하기 위한 것으로 思料된다.

Nitrate reductase는 日光下에서 植物의 잎들을 形成하는데 寄與하는 것으로 報告(Candella et al., 1957; Hageman et al., 1969) 된 바 있으며, 또한 Woolhouse(1967)의 報告에 의하면, 이 酵素의 再合成은 Nitrate의 存在에 의존하며 NRA와 蛋白

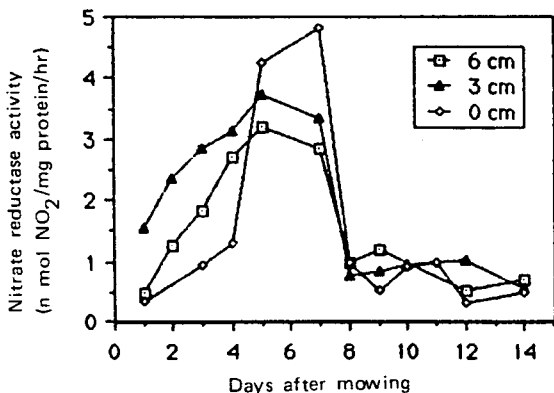


Fig.27. The changes of nitrate reductase activity in the leaf during regrowth of *Z. japonica*.

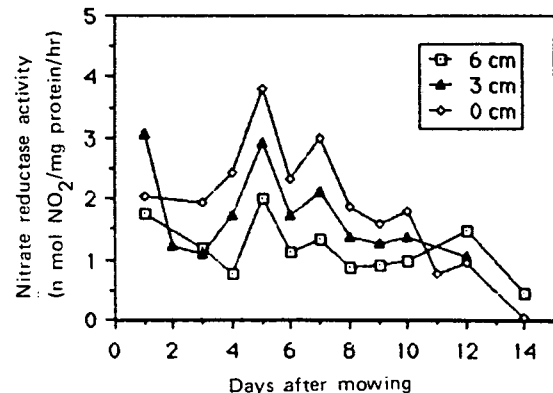


Fig.28. The changes of nitrate reductase activity in the stem during regrowth of *Z. japonica*.

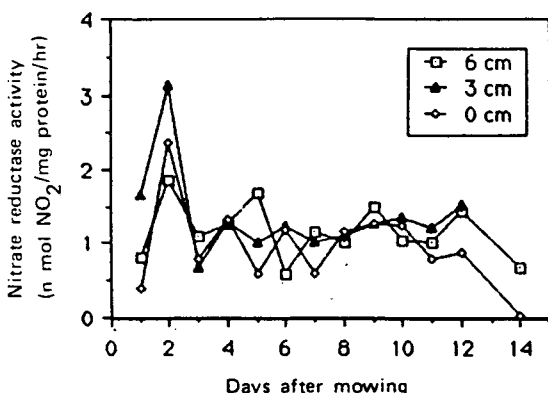


Fig.29. The changes of nitrate reductase activity in the crown during regrowth of *Z. japonica*.

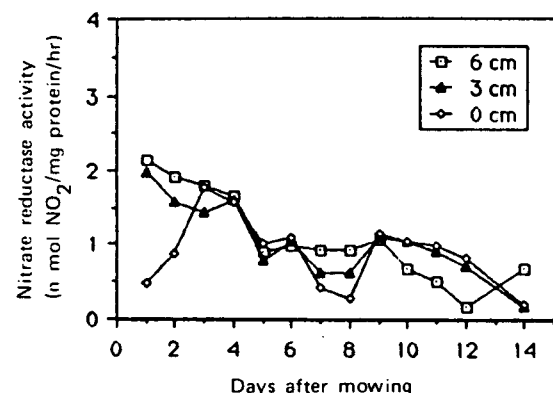


Fig.30. The changes of nitrate reductase activity in the internode during regrowth of *Z. japonica*.

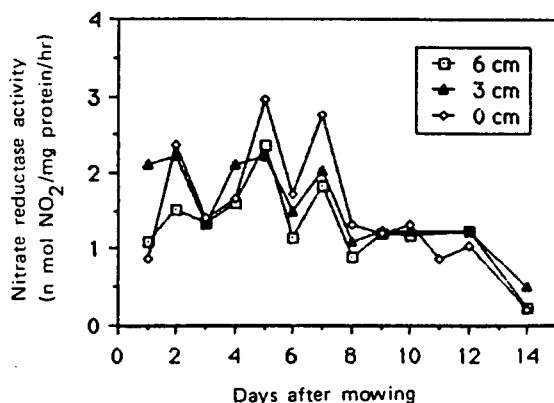


Fig.31. The changes of nitrate reductase activity in the aboveground parts during regrowth of *Z. japonica*.

質合成의 범위에 따라 抑制된다고 指摘하였으며, 빛과 Nitrate의 存在下에서 CO₂는 이 酶素活性에 必須的으로 作用한다고 하였다.

Beevers (1965)등의 報告에 의하면 Nitrate reductase合成은 빛의 強度가 增加함에 따라 增加되고 또 이 酶素가 빛의 強度에 의존하는 機作은 아마도 光合成과 관련하는 것과 비슷한 過程일지도 모른다고 指摘하였다. 이 酶素合成이 光合成에 의존한다는 發見은 老化된 잎에서의 NRA減少는 사실상 老化過程의 주된 原因이라기 보다는 光合成量의 減少에 의한 結果라고 提示하고 있다.

IV. 摘 要

韓國잔디인 *Zoysia japonica* Steud의 剪取後再生過程에 따른 生長과 生化學의 變化樣相을 語查分析한 結果를 要約하면 다음과 같다.

1. 再生過程中 AA는 뿌리를 제외한 地上部의 各器官은 剪取直後부터 4日頃까지 漸進的增加를, 剪取 7~8日間에서는 가장 높은 活性值를 보였고, 剪取 8~9日頃에는 急減되는 活性度로 나타났다. 뿌리의 경우는 再生初期인 2~7日頃에 急增傾向을 보였는데, 이 傾向은 地上部의 TSC (Fig. 13)와 비슷한 趨勢가 나타났음을 알 수 있다 (Figs. 15~20).
2. 再生中 NRA는 잎에서 剪取後 5~7日동안에

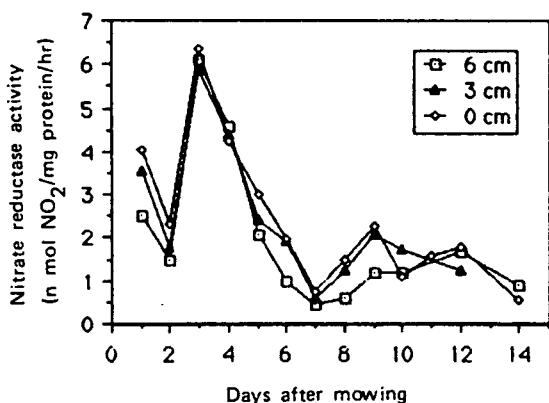


Fig.32. The changes of nitrate reductase activity in the root during regrowth of *Z. japonica*.

가장 높은 活性을 보였고, 剪取後 8日頃부터 원 상태로 回復되었다. 특히 뿌리는 剪取前에는 NRA가 거의 나타나지 않았으나 剪取後 3~4日頃에 活性이 急增하는 傾向을 보였다 (Figs. 27~32).

3. 剪取高에 따른 草長의 再生長은 0cm區는 24日, 3cm區는 18日, 6cm區는 14日頃에 18.16~18.83cm로 回復되었다 (Fig. 2).
4. 再生中의 乾物量(DM)은 잎·줄기 등에서 剪取直後부터 4日頃까지 減少하여 最少에 이르고 다시 增加한 후 9日頃에는 거의 平衡狀態에 到達하였다 (Figs. 3~8).
5. 再生中 總可溶性炭水化物(TSC)의 變化는 地上部 各器官의 경우 5~6日頃까지는 다소 減少傾向이 나타난 후, 7~8日頃에 急增하는 傾向이 나타났다. 그 이후에는 거의一定한 水準으로 절간, 줄기, 관부, 잎, 뿌리의 순위로 나타났고, 대체로 類似한 樣相이었다. 일一般적으로 절간의 경우는 AA의 增加에 따라 TSC도 增加하고, AA가 減少함에 따라 TSC도 減少하는 傾向을 나타내었다 (Figs. 9~14).
6. 再生中 粗蛋白質(CP)의 變化는 地上部가 剪取後 서서히 增加되어 5~6日頃에 가장 높은 含量을 보였고, 그 후는 漸次的으로 減少하는 傾向을 보였다. 그러나 뿌리에서는 이와相反되는 樣相이 나타났다. CP는 일一般적으로 NRA가 增

加함에 따라 높아졌고, 減少함에 따라 낮아지는
傾向을 보였다(Figs. 21~26).

V. 引用文獻

1. A.O.A.C. 1980. Official methods of analysis (13th Ed) Association of official analytical chemist, Washington, D.C.
2. Beevers, L., L.E., Schrader, D. Flesher, and R.H. Hageman, 1965. The role of light and nitrate in the induction of nitrate reductase in radish cotyledons & maize seedlings. *pl. physiol., Lancaster.* 40 ; 691.
3. Candella, M.I., E.G. Fisher, and E.J. Hewitt, 1957. Molybdenum as a plant nutrients. Some with different nitrogen sources and molybdenum levels in sand cultures. *pl. physiol., Lancaster.* 32 ; 280.
4. Hageman, R.H. and D. Flesher, 1969. Nitrate reductase activity in corn seedlings as affected by light & nitrate content of nutrient medium. *pl. physiol., Lancaster.* 35 ; 700.
5. James, B. beard. 1982. Turf Management for Golf courses, The United States Golf Association. p.136, 189~193, 230~234.
6. Madison, J. H. 1962. Turfgrass ecology. Effects of mowing, irrigation, and nitrogen treatments of *Agrostis palustris* Huds., 'Seaside' and *Agrostis tenuis* Sibth., 'Highland' on population, yield, rooting, and cover. *Agron. J.* 54 ; 407 ~412.
7. Madison, J.H. 1962. Mowing of turfgrasses. II Response of three species of grass. *Agron. J.* 54 : 250~252.
8. Prine, G.M., and G.W. Burton. 1956. The effect of nitrogen rate and clipping frequency upon the yield, protein content & certain morphological characteristics of coastal bermudagrass *cynodon dactylon (L) pers.*, *Agron. J.* 48 ; 296~301.
9. Sanderson, G.W. and E.C. Cocking, 1964. Enzymic assimilation of nitrate in tomato plants. I. Reduction of nitrite. *pl. physiol. Lancaster,* 39 ; 416.
10. Sullivan, J.t. and V.G. sprague. 1949. The effect of temperature on th growth & composition of the stubble & root of perennial ryegrass. *Plant physiol.* 24 : 706~19.
11. Weinmann, H. 1961. Ththal available carbohyd- rates in grasses and legumes Herb. Abstr. 31 ; 205~261.
12. Woolhouse, H.W. 1967. The nature of senescence inplants. *Symp. Sco. exp. Biol.* 21 ; 221.
13. Joo,Y.K 1983. Seasonal changes of growth & major nutrients, and effects of mowing on *Zoysia japonica* Steud and *Poa pratensis* L. Agr. of MA, Seoul National Univ. 59~60.
14. 江原薰・佐々木統治・池田一, 1964. Orchardgrass 及び Italian ryegrass の生長に及す貯藏養分量及び温度の影響. 日草誌 10(3): 214~220.
15. 江原薰・山田芳雄・前野休明, 1966, 日草誌 12, 1~4.
16. 江原薰・佐々木統治・池田一, 1965, 牧草の再生に関する生理・生態學的研究 I, 日草誌 10(3):214~220.
17. 星野正生・大泉久一, 1968, ラジノクローバにおける $^{14}\text{CO}_2$ の同化と同化産物の再生長への利用, 日作誌 37:82~85.
18. 日高雅子, 1973, エゾノギシギツの刈取りと貯藏炭水化物(TNC)の関係. 日草誌 19(3): 313~317.
19. 前田敏, 1964, Italian ryegrass の刈取が再生に及す研究, 九大農学部栽培学研究報 1号.
20. 朴萬奎, 1949, 우리나라 植物名鑑, 서울:文教部.
21. 柳達永・廉道義, 1969, The effect of plan- ting date, storage & density on the growth of trans-planted *Zoysia japonica*, Jor. Kor. Soc. Hort. Sci. 5:73~83.